

## О ХАРАКТЕРЕ РАЗРУШЕНИЯ КАДМИЕВОЙ ФОЛЬГИ В УСЛОВИЯХ ИНТЕНСИВНОГО РЕНТГЕНОВСКОГО ОБЛУЧЕНИЯ

УДК 539.4:623.454.8

В. К. Голубев, К. Г. Рабинович, А. К. Чернышев,  
Н. А. Юкина

ВНИИ экспериментальной физики, 607200 Саров

В данной работе представлены результаты исследования характера разрушения кадмииевых образцов в условиях рентгеновского облучения, реализуемых при ядерном взрыве. Определены критические нагрузки, соответствующие макроскопическому откольному разрушению, зарождению откольных микроповреждений и уносу материала с лицевой поверхности.

Кадмиеевые покрытия находят применение в разнообразных конструкциях атомной техники, что обусловлено возможностью их комплексного функционирования, с одной стороны, как антакоррозийных, с другой — как защитных от воздействия проникающих излучений. В связи с этим практический и научный интерес представляет изучение предельной стойкости тонких слоев кадмия в достаточно жестких условиях радиационного воздействия. Цель данной работы — выяснение такого вопроса для условий интенсивного рентгеновского облучения, реализуемых при ядерном взрыве.

Испытуемые образцы в виде дисков диаметром 20 мм вырезались из листа кадмииевой фольги толщиной 0,30 мм. Образец устанавливался в специальный корпус таким образом, что его тыльная поверхность подпиралась слоем низкоплотного пенополистирола, а лицевая, обращенная в сторону ядерного взрыва, экранировалась кадмievым фильтром. Для контроля стабильности результатов два идентичных корпуса с образцами устанавливались на одинаковом расстоянии от источника излучения. После облучения проводился визуальный осмотр корпусов с образцами, которые оказались в достаточной степени сохраненными. Структура и характер разрушения этих образцов исследовалась методом металлографического анализа.

На рис. 1 показаны фрагменты продольного диаметрального сечения одного из образцов при увеличении  $\times 100$  (а) и  $\times 500$  (б). В первом случае наблюдаются формирование и раскрытие в образце макроскопической откольной трещины, а во втором более отчетливо просматриваются структура кадмииевого образца и характер его микроскопического откольного повреждения. Такая же картина имеет место и для другого образца. В частности, выполненные измерения показали, что унос материала с лицевой поверхности образцов произошел на глубину около 0,02 мм. Толщина откольного слоя составила около 0,05 мм, тогда как откольные микроповреждения в виде пор появляются в образцах на глубине около 0,10 мм.

На рис. 2 приведен полученный в результате численного расчета профиль поглощенной энергии  $E$  по толщине образца. Длительность рентгеновского импульса была существенно меньше времени пробега акустической волны по толщине образца, что позволило не принимать ее во внимание при первоначальном рассмотрении реализующихся при нагружении физико-механических явлений. Необходимые характеристики кадмия взяты в основном из [1]. Начальная температура образца составляла около 20 °C. Для перехода от профиля поглощенной энергии к профилю температуры разогрева  $\Delta T$  использовалось среднее для температурного диапазона 20–320 °C значение теплоемкости 248 Дж/(кг·К). В этом случае разогрев  $\Delta T = 300$  К, соответствующий началу перехода от кристалличес-

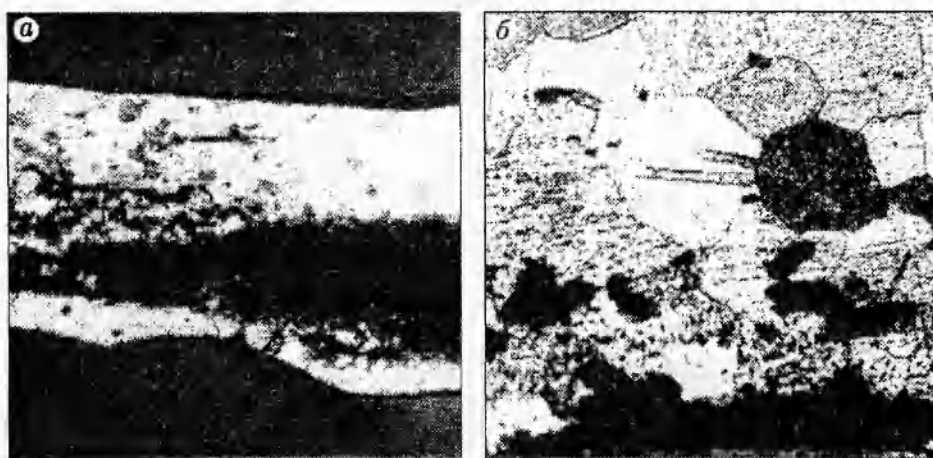


Рис. 1

ского к расплавленному состоянию, реализовывался при  $E = 75$  кДж/кг, т. е. на глубине  $x = 0,06$  мм. Условия полного плавления, требующие  $E = 132$  кДж/кг, не достигались на лицевой поверхности образца, поэтому поверхностный слой толщиной 0,06 мм, разогретый до 300 К, оставался в твердом, хотя и неустойчивом состоянии. Таким образом, температуры на характерных фиксируемых глубинах, отвечающих уносу материала с лицевой поверхности ( $x = 0,02$  мм), зарождению откольных микроповреждений ( $x = 0,10$  мм) и полному макроскопическому откольному разрушению ( $x = 0,25$  мм), составили соответственно 321 °С (температура плавления), 228 и 141 °С.

На основании полученных результатов по разогреву образца могут быть сделаны оценки отрицательного растягивающего давления на глубинах, отвечающих зарождению микроповреждений и макроскопическому откольному разрушению, а также более грубая ориентировочная оценка отрицательного давления на глубине, соответствующей уносу материала с лицевой поверхности. Для этого, несколько упростив ситуацию, представим профиль температуры разогрева по толщине образца в виде экспоненциальной функции  $\Delta T = 300 e^{-3,64x}$ , взяв в качестве опорных точек на лицевой поверхности и на глубине макроскопического откольного разрушения.

Достаточно просто может быть получено решение акустической задачи о волновом процессе в разогретом образце, частные случаи которого для необходимых глубин  $x$  приведены на рис. 3. При решении задачи для плотности и объемной скорости звука использовались значения  $8,64 \text{ г}/\text{см}^3$  и  $2,42 \text{ км}/\text{с}$ , для температурного коэффициента линейного расширения — среднее значение  $31 \cdot 10^{-6} \text{ К}^{-1}$  для диапазона  $20 \div 320$  °С. Показанные на рис. 3 зависимости давления  $P$  от времени соответствуют глубинам  $x = 0,25; 0,10; 0,02$  мм (линии 1–3). Анализируя эти зависимости, отметим, что нагружение растягивающим импульсом с отрицательным давлением 1,20 ГПа и длительностью 0,02 мкс при температуре 140 °С приводит к полному макроскопическому откольному разрушению кадмия, а нагружение импульсом такой же длительности с отрицательным давлением 0,65 ГПа при температуре 230 °С — к начальной стадии зарождения откольных микроповреждений. Можно также предположить, что откольное разрушение кадмия, нагретого до температу-

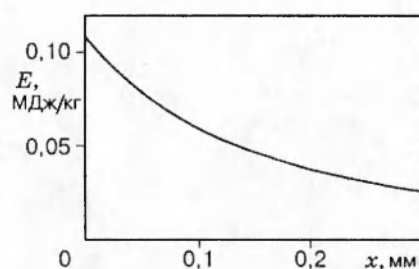


Рис. 2

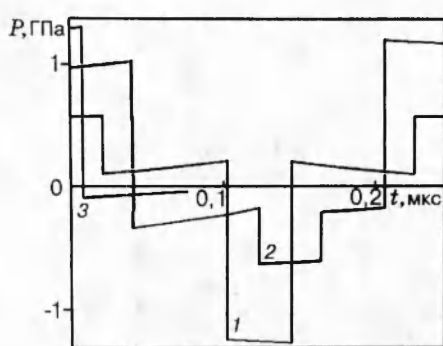


Рис. 3

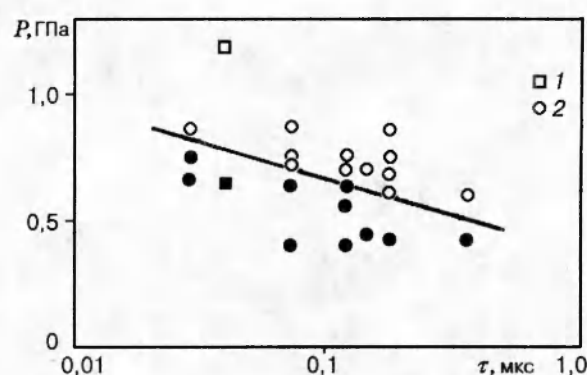


Рис. 4

ры плавления, характеризуется отрицательным давлением около 0,1 ГПа, действующим в период времени порядка  $0,01 \div 0,02$  мкс.

Сопоставим наши результаты по разрушению кадмия в условиях рентгеновского облучения с полученными в [2] при облучении сильноточным электронным пучком. В [2] облучались образцы кадмия различной толщины, что позволило выявить влияние длительности растягивающего импульса  $\tau$  на критическое отрицательное давление, соответствующее начальной стадии макроскопического откольного разрушения.

На рис. 4 приведены результаты данной работы и [2] (точки 1 и 2 соответственно). Темные точки указывают на сохранение макроскопической целостности образца, светлые — на формирование в образце визуально наблюдаемой макроскопической откольной трещины. В [2], кроме того, проводился анализ откольных поверхностей с использованием компьютерной системы обработки изображений. Средний размер шероховатостей, покрывающих поверхность, для образцов толщиной  $0,18 \div 0,30$  мм находился в пределах  $0,02 \div 0,03$  мм, что также достаточно хорошо согласуется с результатами выполненного в данной работе качественного анализа изображений диаметрального продольного сечения. Результаты экспериментов по откольному разрушению материала, нагретого до температуры плавления, приведены в [3]. При взрывном нагружении оловянных образцов ударными волнами различной интенсивности в диапазоне давлений  $16 \div 22$  ГПа была отмечена тенденция снижения откольной прочности олова от 0,7 до 0,05 ГПа. Подобное снижение, по-видимому, объясняется тем, что в указанном диапазоне давлений разгруженному материалу сообщалась энергия, необходимая для перехода от кристаллического к расплавленному состоянию, и его температура соответствовала температуре плавления. В этом случае результат ориентировочной оценки условий уноса поверхностного слоя кадмия с разогретой до температуры плавления лицевой поверхности может быть признан вполне приемлемым.

## ЛИТЕРАТУРА

1. Таблицы физических величин: Справочник / Под ред. И. К. Кикоина. М.: Атомиздат, 1976.
2. Бонюшкун Е. К., Жуков И. В., Завада Н. И. и др. Особенности откольного разрушения конструкционных материалов в режиме быстрого объемного разогрева и при взрывном нагружении // Вопросы атомной науки и техники. Сер. Импульсные реакторы и простые критические сборки. 1988. Вып. 1. С. 53–61.
3. Grady D. E. The spall strength of condensed matter // J. Mech. Phys. Solids. 1988. V. 36, N 3. P. 353–384.

Поступила в редакцию 30/X 1995 г.